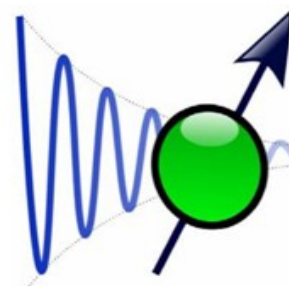


KATEDRA FIZYKI
**WYDZIAŁ INŻYNIERII PRODUKCJI
I TECHNOLOGII MATERIAŁÓW
POLITECHNIKA CZĘSTOCHOWSKA**



**LABORATORIUM Z PRZEDMIOTU
METODY REZONANSOWE**



ĆWICZENIE NR MR-5

**ELEKTRONOWY REZONANS
PARAMAGNETYCZNY WIDM PROSZKOWYCH
 Mn^{2+} W CaO**

I. Wstęp teoretyczny

Krzemiany, glinokrzemiany, wapienie i gipsy są grupą minerałów najbardziej rozpowszechnionych w skorupie ziemskiej. Minerale te stanowią podstawowe składniki do produkcji wiążących materiałów budowlanych. Elektronowy rezonans paramagnetyczny tych materiałów uwarunkowany jest istnieniem śladowych ilości jonów metali przejściowych (takich jak: Mn, Fe, Ni, Cu, Ti, Cr) oraz różnych innych defektów strukturalnych o charakterze paramagnetycznym. W surowcach do materiałów wiążących materiałów budowlanych występują najczęściej niewielkie ilości manganu Mn^{2+} . Jony manganu podstawiają atomy wapnia Ca^{2+} , co pozwala metodą EPR w łatwy sposób śledzić m.in. procesy strukturalne, fizykochemiczne, kinetykę wypalania oraz przemiany fazowe. Tlenek wapnia zwany w technologii wapnem palonym otrzymuje się w temperaturze 1173K pod ciśnieniem normalnym. Proces dysocjacji węglanu wapnia przebiega według reakcji: $CaCO_3 + Q \Leftrightarrow CaO + CO_2$. Jest to reakcja endotermiczna. Ilość energii potrzebnej do dekarbonizacji 1 mola węglanu wapnia wynosi 178,16 kJ. Temperatura dysocjacji rośnie wraz ze wzrostem ciśnienia. CaO jest białym proszkiem bardzo higroskopijnym – gwałtownie reaguje z wodą wydzielając ciepło. Z powietrza pochłania dwutlenek węgla w wyniku czego zmienia się z powrotem w węglan wapnia. Widmo absorpcji EPR w sproszkowanej próbce jest superpozycją widm pochodzących od pojedynczych (przypadkowo zorientowanych) krystalitów.

EPR jonów Mn^{2+} w regularnym polu krystalicznym.

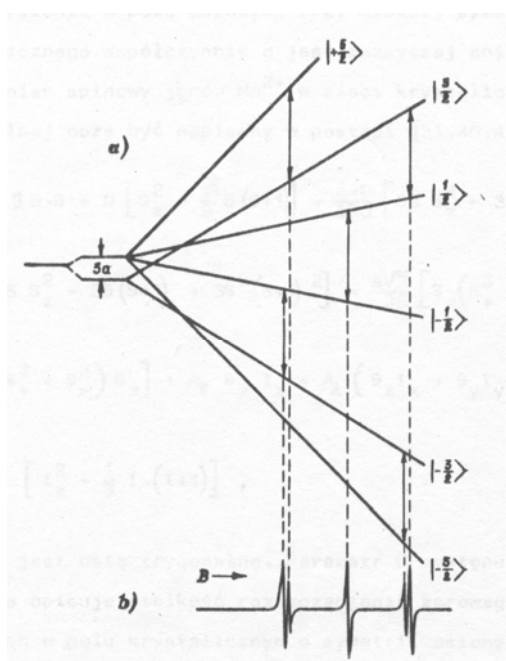
Sześciokrotnie zdegenerowany poziom podstawowy jonu Mn^{2+} w słabych polach krystalicznych jest orbitalnym singletem ${}^6S_{5/2}$, stąd współczynnik rozszczepienia spektroskopowego g powinien być bliski czysto spinowej wartości. Jednakże stopień degeneracji, dopuszczalny w polach krystalicznych może być co najwyżej czterokrotnym. Dlatego sześciokrotnie zdegenerowany poziom podstawowy jonu Mn^{2+} w polu regularnym ulega słabemu rozszczepieniu, które może być opisane w wysokich rzędach teorii zaburzeń. Człon hamiltonianu opisujące to rozszczepienie muszą zawierać wyrazy czwartego stopnia S^4 . Hamiltonian spinowy jonu Mn^{2+} znajdującego się w polu regularnym ma postać:

$$H = g\beta BM + \frac{a}{180} [35S_z^4 - 30S(S+1)S_z^2 + 25S_z^2 - 6S(S+1) + 3S^2(S+1)^2] + \frac{a}{48} (S_+^4 + S_-^4) + \vec{S}\hat{A}\vec{I} + \vec{I}\hat{P}\vec{I} - \vec{B}\hat{g}_I\vec{I}. \quad (1)$$

Występująca tu stała a charakteryzuje rozszczepienie poziomów spinowych w polu krystalicznym o symetrii regularnej. Wyrażenie na położenie poziomów energetycznych z dokładnością do drugiego rzędu ma postać:

$$\begin{aligned}
 E_{M,m} = & g\beta BM + AMm + \frac{A^2}{2g\beta B} \{m[M^2 - S(S+1) + M[I(I+1) - m^2]]\} + \\
 & + \frac{a}{1208} (35\cos^4\theta - 30\cos^2\theta + 3 + 5\sin^2\theta \cos 4\varphi) \{35M^4 - [30S(S+1) - 25]M^2 + \\
 & + 3S^2(S+1)^2 - 6S(S+1)\} + \frac{a^2 \sin^2 4\theta}{36764g\beta B} [\{S(S+1) - M(M-1)\}(2M+1)(\frac{81}{4} - 7M^2 - 7M)\}^2 + \\
 & - \{S(S+1) - M(M-1)\}(2M-1)(\frac{81}{4} - 7M^2 - 7M)\}^2].
 \end{aligned} \tag{2}$$

W zerowym polu magnetycznym sześć poziomów opisanych powyższymi równaniami stanowi dwie grupy odległe o $3a$. Górny poziom przesunięty o wartość a w stosunku do energii jonu swobodnego jest kwartetem Γ_8 , dolny o energii $-2a$ jest dubletem Γ_7 .



Rys. 1. Rozszczepienie spinowych poziomów energetycznych jonu $3d^5$ w polu krystalicznym o symetrii regularnej (a) oraz widmo EPR jonu $/h\nu \gg 3a/$ (b).

Na rys. 1 przedstawiono rozszczepienie spinowych poziomów jonu Mn^{2+} w polu krystalicznym o symetrii regularnej oraz widmo EPR jonu bez uwzględnienia oddziaływania nadsubtelnego. Jeżeli rozszczepienie nadsubtelne jest dużo większe od rozszczepienia w zerowym polu widmo EPR składa się z sześciu takich kwintetów jak na rys. 1.



Rys. 2. Doświadczalne widmo proszkowe jonów Mn^{2+} w regularnej sieci CaO i obliczone położenia pików pełnej struktury widma dozwolonego z wykorzystaniem zależności ujętych w tabeli 1. W obliczeniach przyjęto $B_0 = 342,8$ mT, $A = -8,65$ mT, $a = 0,6$ mT, $g = 2,001$.

Widmo EPR jonu Mn^{2+} w CaO przedstawia rys. 2. Położenie dozwolonej linii rezonansowej $M \rightarrow M-1$ jonu Mn^{2+} w sieci CaO opisuje następujące wyrażenie:

$$B_{M,m} = B_0 - Am - \frac{A^2}{2B_0} \left[\frac{35}{4} - m^2 + m(2M-1) \right] - \frac{a}{384} (56M^3 - 84M^2 - 134M + 81) \quad (3)$$

$(35 \cos^4 \theta - 30 \cos^2 \theta + 3 + 5 \sin^4 \theta \cos 4\varphi) +$ człony wyższych rzędów

Kąt θ jest kątem, jaki tworzy krystaliczna oś regularna o kierunku $\langle 001 \rangle$ z polem \vec{B} . Człony wyższych rzędów zaniedbano ze względu na ich niewielki wkład do widma proszkowego linii dozwolonych. Po zróżniczkowaniu równania (3) po kącie θ i φ i przyrównaniu pochodnych do zera otrzymuje się sześć punktów krytycznych (sześć par kątów θ_c i φ_c) i odpowiadające im wartości pól rezonansowych, w których wystąpią piki proszkowe. Niektóre z tych pików odpowiadają kierunkom krystalograficznie równoważnym. Stąd też jon Mn^{2+} w sieci regularnej CaO posiada trzy typy pików proszkowych odpowiadających trzem orientacjom pola magnetycznego względem osi krystalograficznych. Wartości kątów θ_c i φ_c oraz pola rezonansowe pików proszkowych przedstawia poniższa tabela.

Tabela 1. Piki proszkowe widma jonu Mn^{2+} w polu regularnym dla przejść dozwolonych

$$|M, m\rangle \leftrightarrow |M-1, m\rangle (M \neq 1/2).$$

| Lp | Punkt krytyczny | Oś krystalograficzna | Typ kierunku krystalograf. | Położenie pików w skali pola | Typ pików proszkowego |
|----|--|----------------------|----------------------------|------------------------------|--|
| 1 | $\theta = 0^\circ$ | [001] | $\langle 100 \rangle$ | $B_{0m}-R$ | $\theta = 0^\circ$ |
| 2 | $\theta = 90^\circ$ $\varphi = 0^\circ$ | [100] | $\langle 100 \rangle$ | $B_{0m}-R$ | $\theta = 0^\circ$ |
| 3 | $\theta = 90^\circ$ $\varphi = 45^\circ$ | [110] | $\langle 110 \rangle$ | $B_{0m}+R/4$ | $\theta = 90^\circ$ $\varphi = 45^\circ$ |
| 4 | $\theta = 45^\circ$ $\varphi = 0^\circ$ | [101] | $\langle 110 \rangle$ | $B_{0m}+R/4$ | $\theta = 90^\circ$ $\varphi = 45^\circ$ |
| 5 | $\theta = 45^\circ$ $\varphi = 45^\circ$ | [011] | $\langle 110 \rangle$ | $B_{0m}+R/4$ | $\theta = 90^\circ$ $\varphi = 45^\circ$ |
| 6 | $\theta = 54,74^\circ$ $\varphi = 45^\circ$ | [111] | $\langle 111 \rangle$ | $B_{0m}+2R/3$ | $\theta = 54,74^\circ$ $\varphi = 45^\circ$ |

gdzie:

$$B_{0m} = B_0 - mA - \frac{A^2}{2B_0} \left[\frac{35}{4} - m^2 + m(2M - 1) \right]$$

$$R = \frac{a}{48} (56M^3 - 84M^2 - 134M + 81)$$

Intensywność tych pików zależy głównie od ilości spinów tworzących dane kąty θ i φ z polem magnetycznym. Dlatego też pik $\theta = 0$ (tab.1) jest bardzo słaby i praktycznie nie obserwowany w widmie proszkowym jonu Mn^{2+} w sieci regularnej. Praktycznie do analizy przejść subtelných $|M, m\rangle \leftrightarrow |M-1, m\rangle$ bierze się dwa pozostałe piki tj. $\theta = 90^\circ, \varphi = 45^\circ$ oraz $\theta = 54,74^\circ, \varphi = 45^\circ$. Przejście $|1/2, m\rangle \leftrightarrow |-1/2, m\rangle$ nie wykazuje anizotropii i piki proszkowe wszystkich typów pokrywają się. Wyjaśnia to bardzo dużą względną intensywność tego przejścia i trudności z zaobserwowaniem pozostałych przejść. Parametr a można natomiast określić z odpowiednich rozszczepień subtelných widm (rys. 2).

II. Zagadnienia do opracowania

1. Istota zjawiska EPR.
2. Ogólna budowa spektrometru EPR.
3. Struktura subtelna i nadsubtelna widma EPR jonu paramagnetycznego o spinie elektronowym $S > 1/2$ i jądrowym $I > 1/2$.
4. Relacje opisujące wartości energii oraz pól rezonansowych jonu Mn^{2+} ($S=5/2$, $I=5/2$) w sieci kryształu.
5. Hamiltonian spinowy jonu Mn^{2+} dla układu o symetrii regularnej (kubicznej).

III. Przebieg ćwiczenia

III.1. Czynności wstępne

1. Przygotować spektrometr EPR do pomiarów zgodnie z jego instrukcją obsługi.

III.2. Przeprowadzić rejestrację widma EPR próbki CaO. W tym celu:

1. Umieścić próbkę CaO we wnęce spektrometru.
2. Dostroić częstość generatora mikrofal do częstości wnęki z próbką.
3. Dobrać poziom mocy mikrofal doprowadzonej do wnęki z próbką.
4. W programie ustawić parametry rejestracji widma na następujące wartości:
 - pole stałe: $B_0=340$ mT,
 - zakres przemiatań pola: $B_p=20$ mT,
 - czas przemiatań: $t_p=256$ s,
 - amplituda modulacji: $B_m=0,125 \times 1000$ μ T,
 - faza fali modulującej: $\varphi=70^\circ$,
 - stała czasowa: $\tau=30$ ms,
 - wzmacnienie: $A_m=1 \cdot 10^4$.
5. Komendą „START” uruchomić program rejestracji.
6. Po zakończeniu rejestracji zapisać w danym katalogu widmo EPR oraz parametry rejestracji.
7. Wyjąć z wnęki próbkę, stosując się do instrukcji obsługi spektrometru.

IV. Opracowanie wyników pomiaru EPR jonów Mn^{2+}

1. Wyznaczanie stałej A struktury nadsubtelnej

Stałą A struktury nadsubtelnej obliczamy mierząc położenia linii odpowiadających przejściom:

$$1) M_S = +\frac{1}{2} \rightarrow -\frac{1}{2}; m = +\frac{5}{2} (B_{5/2})$$

$$2) M_S = +\frac{1}{2} \rightarrow -\frac{1}{2}; m = -\frac{5}{2} (B_{-5/2})$$

$$|A| = \left| \frac{B_{5/2} - B_{-5/2}}{5} \right| \quad [\text{mT}]$$

lub

$$|A| = \left| \frac{B_{5/2} - B_{-5/2}}{5} \right| (\text{mT}) \cdot 4,68g \quad [10^{-4} \text{cm}^{-1}]$$

2. Wyznaczanie stałej g

Wartość g obliczyć w oparciu o wzór:

$$g = \frac{h\nu}{\beta B_0}$$

gdzie: $h = 6,626736 \cdot 10^{-34}$ Js

$$\beta = 9,274078 \cdot 10^{-24} \text{ J/T}$$

ν jest zmierzoną częstotliwością promieniowania oddziałującego z próbką umieszczoną wewnątrz rezonansowej;

B_0 jest wartością położenia środka centralnego sekstetu linii manganu, którą określa

wyrażenie w postaci:
$$\frac{1}{2}(B_{1/2} + B_{-1/2}) = B_0 - \frac{17 A^2}{4 B_0}$$

Wartości pól $B_{1/2}$ i $B_{-1/2}$ (stanowiące trzecią i czwartą linię sekstetu) odczytujemy bezpośrednio z widma pomiarowego.

V. Literatura

1. J. Stankowski, A. Graja „*Wstęp do elektroniki kwantowej*” WKiŁ Warszawa 1972;
2. J. Stankowski, W. Hilczer „*Wstęp do spektroskopii rezonansów magnetycznych*”, PWN Warszawa 2005;
3. L. A. Blumenfeld, W. W. Wojewodski, A. G. Siemionow „*Zastosowanie elektronowego rezonansu w chemii*” PWN Warszawa 1967, str. 108-135;
4. J. Rubio O., E. Munoz P., J. Boldy O. „EPR Power analysis for Mn^{2+} In cubic crystalline fields” *The Journal of Chemical Physics*, 15 January 1979, pp 633-638.